



Ricerca di Sistema elettrico

Comunicazione e diffusione dei risultati sulle attività ENEA sul P2G/L nell'ambito del WP3 - Allegato

E. Giacomazzi, F.R. Picchia

COMUNICAZIONE E DIFFUSIONE DEI RISULTATI SULLE ATTIVITÀ ENEA SUL P2G/L NELL'AMBITO DEL WP3 -
ALLEGATO

E.Giacomazzi, F.R. Picchia – DTE-PCU-IPSE, ENEA

Dicembre 2019

Report Ricerca di Sistema Elettrico

Accordo di Programma Ministero dello Sviluppo Economico - ENEA

Piano Triennale di Realizzazione 2019-2021 - I annualità

Obiettivo: *Tecnologie*

Progetto: Tema 1.2 "Sistemi di accumulo, compresi elettrochimico e power to gas, e relative interfacce con le reti"

Work package: WP3 "Power-to-Gas"

Linea di attività: LA3.34 Comunicazione, diffusione dei risultati e coordinamento sulle attività ENEA su P2G/L e integrazione con sistemi generazione elettrica innovativi - I Anno

Responsabile del Progetto: Giulia Monteleone ENEA

Responsabile del Work Package: Eugenio Giacomazzi ENEA

Si riportano alcune slide di presentazioni e poster realizzati nell'ambito del progetto.



**Italian National Agency for New Technologies,
Energy and Sustainable Economic Development**

**Produzione di Combustibili Alternativi (E-fuels):
Le Tecnologie Power2Gas e Power2X**

Open Forum del CO2 Club Italia

Sede Enea Lungotevere Thaon di Revel 76, Roma 16 aprile 2019

Ing. Paolo Deiana
Roma 16 aprile 2019



Le Tecnologie di Accumulo dell'Energia Elettrica



1) Differiscono in capacità:

- ✓ Condensatori, volani, batterie... sistemi ad aria compressa fino a impianti di pompaggio offrono capacità relativamente limitate
- ✓ Il Power-to-Gas ha una capacità potenziale molto elevata

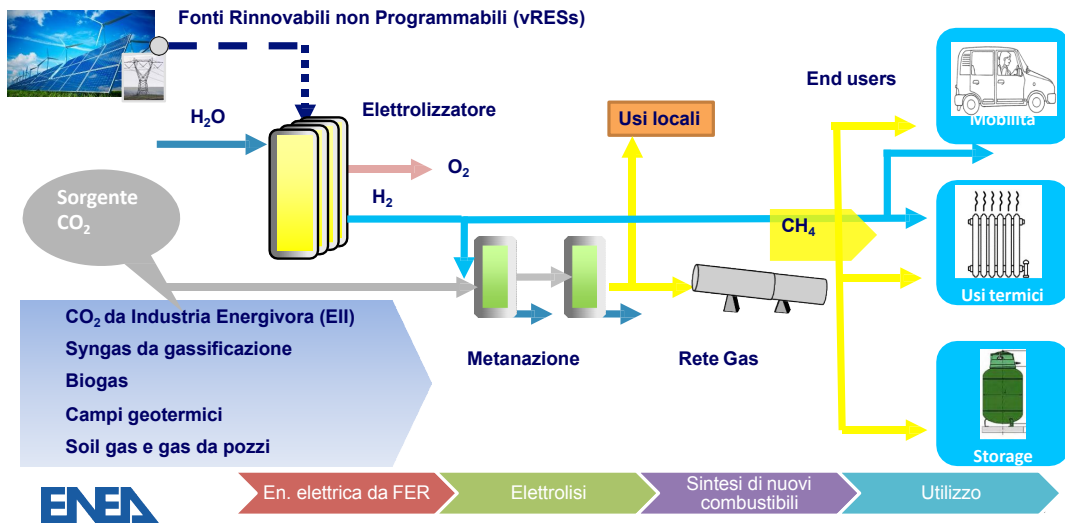
2) Differiscono nei tempi:

- ✓ Breve
- ✓ Medio
- ✓ Lungo → stagionale (SNG)

Fonte: GRTgaz | Jupiter1000 for the ADEME - NEDO seminar


5

Il Power To Gas (P2G)



La produzione di H₂: Elettrolisi dell'acqua

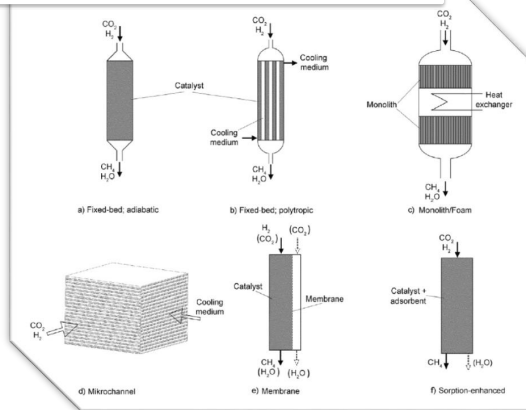
	Alkaline electrolysis	PEM electrolysis	SOEC Solid oxide electrolysis
State of development	Commercial	Commercial	Laboratory
Electrolyte	OH⁻	Solid polymer membrane (Nafion)	ZrO₂ ceramic doped with Y₂O₃O²⁻
Power consumption kWh/Nm³H₂	4.5-7	4.5-7	3
Efficiency	67-70 %	60-80 %	90 %
Investment cost €/kWe	800-1000	1400-2100	>2000^a

^aHigh uncertainty due to pre-commercial status of SOEL
 Source: Renewable and Sustainable Energy Reviews 82 (2018) 2440–2454

HySTAT™ Cell Stack

Metanazione catalitica: i reattori

Diverse tipologie di reattori...



Source: Renewable and Sustainable Energy Reviews 81 (2018) 433–446

Reazione
altamente
esotermica



Lo smaltimento del calore e il controllo della temperatura sono fondamentali per la progettazione dei reattori

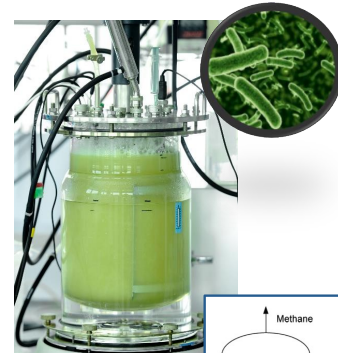
Metanazione biologica

La produzione di metano a partire da CO_2 è attuata da microorganismi di diverse famiglie (p.es. : **archea**).

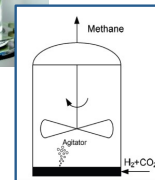
Il processo ha luogo in soluzione acquosa a temperature dell'ordine dei 40 -70 °C.

Lo stadio limitante è il trasferimento di massa dell'idrogeno nella fase liquida.

Reattori CSTR o a bolle sono quelli più utilizzati.



©Electrochaea GmbH



Sintesi di DME...

$2 \text{CO}_2 + 6 \text{H}_2 \xrightarrow{\text{CuO/ZnO}} 2 \text{CH}_3\text{OH} + 2 \text{H}_2\text{O} \quad (\text{HP})$

$\xrightarrow{\text{Al}_2\text{O}_3} \text{CH}_3\text{OCH}_3 + \text{H}_2\text{O}$

$\xrightarrow{\text{CuO/ZnO/Al}_2\text{O}_3} \text{CH}_3\text{OCH}_3 + \text{H}_2\text{O}$

Conversione % di MeOH in DME su vari catalizzatori

26

Approccio ENEA multidisciplinare e multiscala

25

Produzione H₂, separazione CO₂, analisi...



Separazione CO₂/CH₄

Analisi composizione gas, identificazione e quantificazione inquinanti

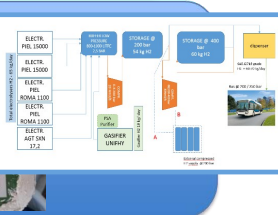


Elettrolisi e produzione di H₂











24



Agenzia nazionale per le nuove tecnologie,
l'energia e lo sviluppo economico sostenibile



P2G: From Hydrogen To Oxygenated Fuels

First Italian Conference on Carbon Dioxide Capture and Utilization
Bari, 6/12/2019

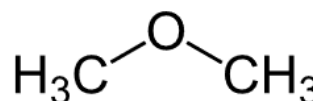
Francesco Pancrazzi, Vincenzo Barbarossa, Raimondo Maggi e Rosanna Viscardi



DME as an Alternative Fuel

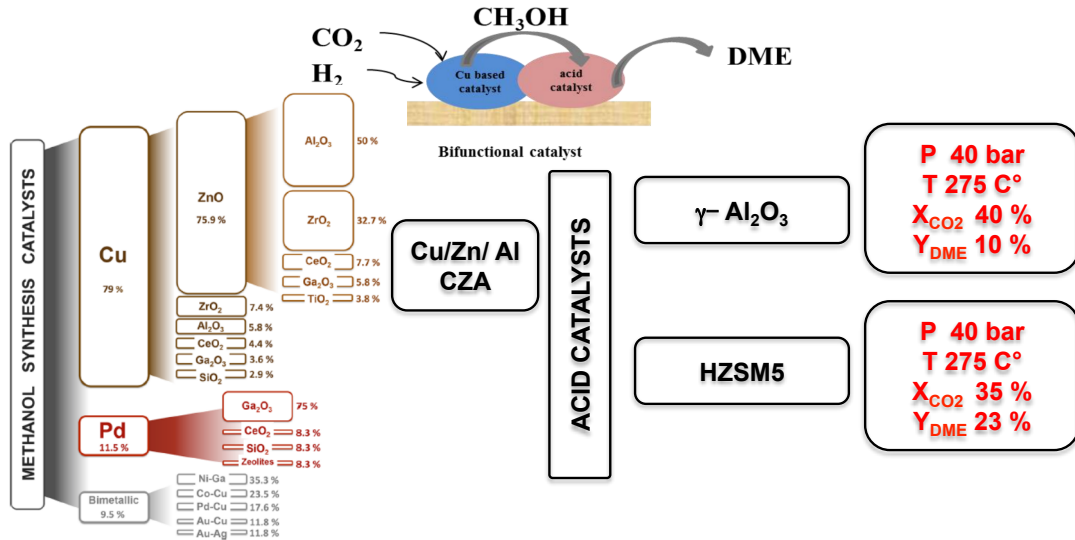
	DME	Methane	Methanol	Ethanol	FTD	LPG	Gasoline	Diesel	Hydrogen
Molecular Weight (g mol⁻¹)	46.07	16.04	32.04	46.07		44.1	114	198.4	2.016
Density (g cm⁻³)	0.67 ^c	0.00072 ^b	0.792 ^b	0.785 ^b	0.76-0.79 ^e	0.54 ^e	0.71-0.77 ^e	0.80-0.86 ^b	0.00089 ^e
Normal boiling point (°C)	-24.9	-162	64	78	180-320 ^e	-30 ^e	0-210 ^e	125-400	-253 ^e
Octane Number (RON)	-	122	110	110	-	90-96	90-100	-	>125
Cetane Number	55-60	-	5	-	55-75	-	-	40-55	-
Energy content^e (MJ/kg)	28,43	50	19.5	28,4	44	46.3	42.7	43.1	119.9
Carbon Content^f (wt%)	52.2	74	37.5	52.2	85 ^e	82 ^e	85.5	87	0
Sulfur Content^f (ppm^g)	0	~7-25	0	0		10-50	~200	~250	0

- ❖ High cetane number
- ❖ High oxygen content
- ❖ Low particulate emissions



Università degli Studi di Parma

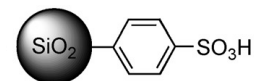
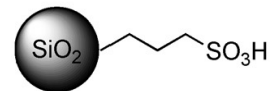
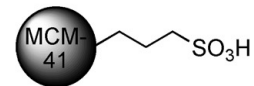
Direct DME synthesis



Challenges in the Greener Production of Formates/Formic Acid, Methanol, and DME by Heterogeneously Catalyzed CO₂ Hydrogenation Processes, *Chem. Rev.* 2017, 117, 14, 9804-9838

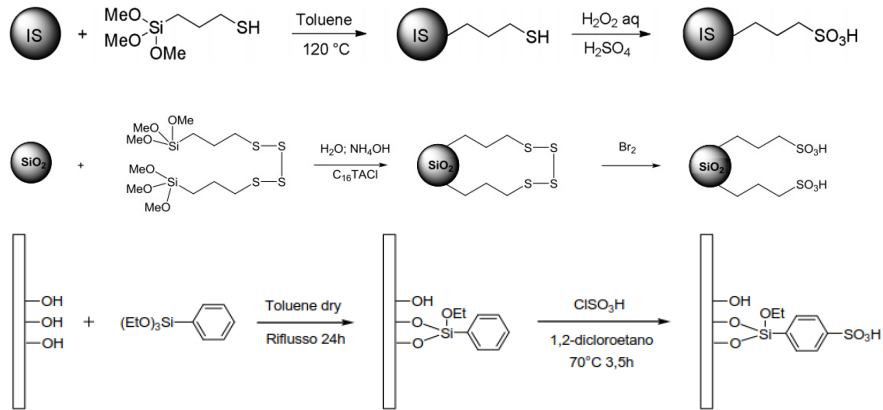
A new class of unconventional acid catalysts

- Sulfonic catalysts are materials composed of an inorganic support such as mesoporous silica or amorphous silica functionalized with a sulfonic acid groups
- They own acidic strenght similar to sulfuric acid
- Cheap materials, easy to work with and easy to recycle.



Different functionalizations are possible due to different organic functions

Sulfonic catalysts synthesis



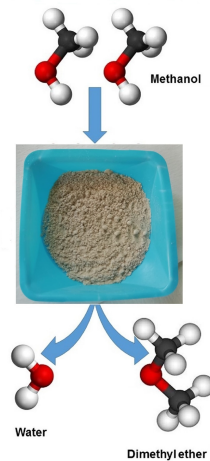
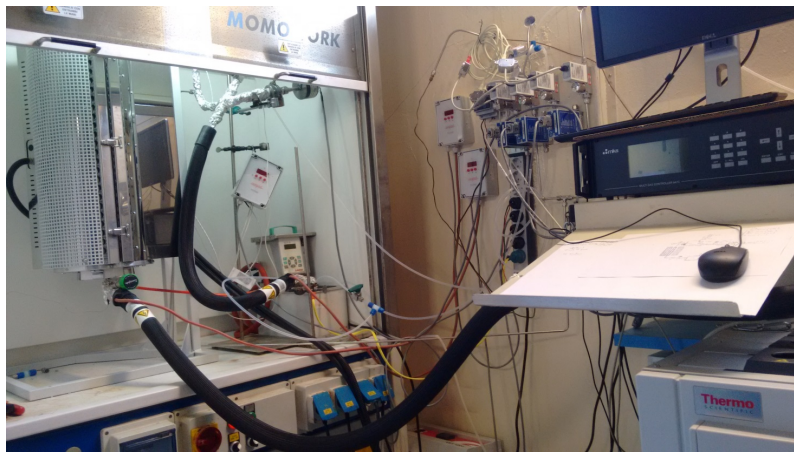
Safe reaction conditions and simple work-up



Università degli Studi di Parma

8

Experimental apparatus for DME synthesis



Temperatura reazione (°C)	Pressione (atm)	Flusso di N ₂ (mL/min)	Flusso MeOH(g) (mL/min)
100-450	1	10	0.9-1.7

$$Y_{\text{DME}} = 2 \text{ mol DME} / (\text{mol MeOH})^\circ$$



Università degli Studi di Parma

11

CATALYTIC CONVERSION OF METHANOL TO DIMETHYL ETHER (DME) OVER SUPPORTED SULFONIC ACIDS CATALYSTS

Rosanna VISCARDI¹, Vincenzo BARBAROSSA¹, Daniele MIRABILE GATTIA¹,
Raimondo MAGGI², Giovanni MAESTRI², Emanuele PARIS²

¹Casaccia Research Center, ENEA, Italy, ²University of Parma, Italy

*rosanna.viscardi@enea.it

3rd International Conference on Applied Surface Science
Pisa June 17-20, 2019

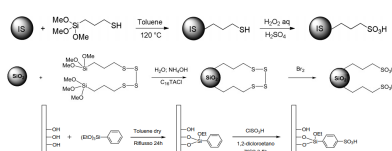


1. Background and objectives

Dimethyl ether (DME) is a promising multisource and multipurpose clean fuel and value-added chemical synthesized from syngas. This process can be either performed in a single stage (direct process) using a dual catalysis system or a two stage (indirect process) where syngas is first converted into methanol and then dehydrated to produce DME. Despite tremendous efforts, catalytic synthesis of DME via a high efficient route remains a great challenge. Catalyst design is at the heart of enhancing the catalytic efficiency of DME synthesis. The selection of an appropriate catalyst for methanol dehydration is dependent on a number of factors as acid strength and characteristics, pore size and morphology, temperature resistance and active temperature range, and toxicity and coking resistance. These factors must be weighted with the cost effectiveness of a given catalytic material. It is expected that the ideal catalyst will possess adjustable acid strength, structure, and promising mechanical and hydrothermal stability. Even though **modified alumina** and **zeolite** are the more obvious choices, they do not satisfy all these criteria. **Alumina** is an inexpensive and active catalyst for DME synthesis with a promising mechanical strength; however, its hydrophilicity is one of the major drawbacks. **Zeolites**, on the other hand, offer a high hydrothermal stability but the presence of strong acid sites which lead to the formation of by-products and coke is their most common challenge. We propose a new class of SO₃H-functionalized materials with tunable Lewis and Brønsted acid sites, as efficient catalysts to perform the methanol dehydration process.

2. The catalysts

The catalysts tested are **sulfonic acids grafted on inorganic support** such as SiO₂ and MCM-41.



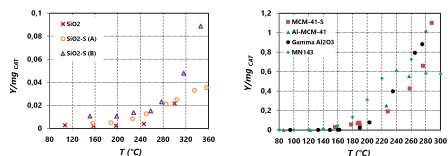
- Cheap materials, safe to handle, and easy to recycle
- Tunable acid strength with the support's functionalization
- Mild reaction conditions
- Work-up steps very easy

4. Physico-chemical properties

Catalyst	Surface Area (m ² /g)	Surface Acidity (meq H ⁺ /g)
γ-Al ₂ O ₃	250	-
SiO ₂	540	-
MCM-41	1240	-
Al-MCM-41	940	-
MCM-41-(CH ₂) ₃ -SO ₃ H	970	2.53
SiO ₂ -(CH ₂) ₃ -SO ₃ H (A)	510	0.23
SiO ₂ -(CH ₂) ₃ -SO ₃ H (B)	490	0.60
SiO ₂ -Al ₂ O ₃ -C ₆ H ₅ -SO ₃ H (MN143)	371	0.90

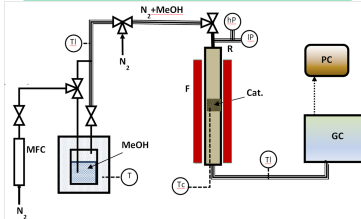
- Increase of acidity for the functionalized catalysts
- Lower surface area for the MCM-41 supported sulfonic acid

5. MeOH Conversion



- The functionalization with sulfonic groups increases the dehydration activity of inorganic supports.
- At lower temperatures MN143 is more active than commercial catalysts.

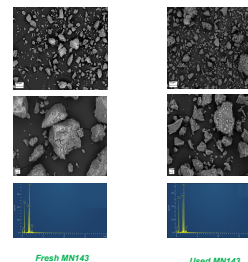
3. Experimental set-up



A flow of nitrogen saturated with **methanol at 20°C** was fed to the reactor operating at temperatures between **100°C and 450°C and 1 bar**.

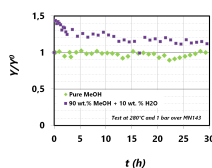


7. SEM Analysis



The presence of sulfur confirms that the organic moiety containing the sulfonic groups have not been removed during the process → high thermal stability

6. Stability Test



- High stability of MN143 catalyst
- Very slow deactivation with H₂O

8. Conclusion

- ❖ The new class of supported sulfonic acids is very interesting and promising as catalysts for the methanol dehydration.
- ❖ The introduction of sulfonic groups results in a simple and powerful way to modulate the catalytic activity in inorganic materials.
- ❖ These materials are very active, selective and stable catalysts for this process.
- ❖ The catalytic activity of MN143 was higher than those of the reference commercial catalysts.



Italian National Agency for New Technologies,
Energy and Sustainable Economic Development

Le Tecnologie Power to Gas per l'Utilizzo Innovativo delle Reti Energetiche

Ing. Paolo Deiana

Dipartimento Tecnologie Energetiche – PCU – IPSE



Centro Congressi Fondazione CARIPLO – Auditorium Giacomo Manzù – Milano, 12-13 giugno 2019

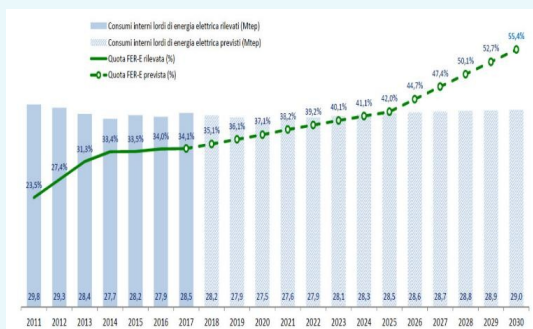
UNI-CIG 2019
FORUM

IL SISTEMA GAS-EUROPA
UNA VISTA POLIEDRICA
SUL SISTEMA MULTI-GAS



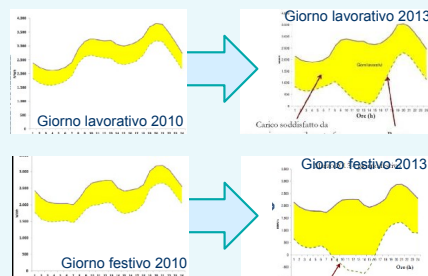
Le FER e l'Accumulo Energetico

2019 PNIEC FER nei consumi elettrici 55% al 2030 (34% al 2017)



Le Tecnologie di Accumulo dell'Energia possono contribuire al peak shaving delle FER variabili (eolico e solare) evitando le fluttuazioni temporali che possono causare surplus o deficit nella fornitura di energia.

Profili di produzione giornaliera Sud Italia



Una maggiore penetrazione nel mercato di sistemi di produzione di energia elettrica da fonte rinnovabile comporta il contestuale sviluppo di sistemi di accumulo, giornaliero e stagionale, dell'energia prodotta.

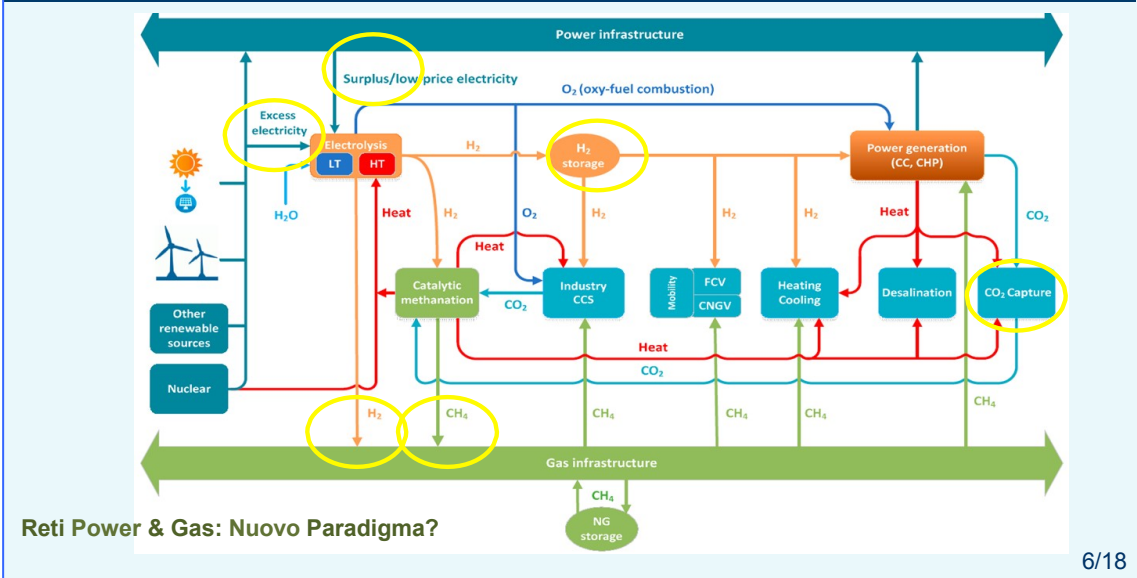
4/18

UNI-CIG 2019
FORUM

IL SISTEMA GAS-EUROPA
UNA VISTA POLIEDRICA
SUL SISTEMA MULTI-GAS

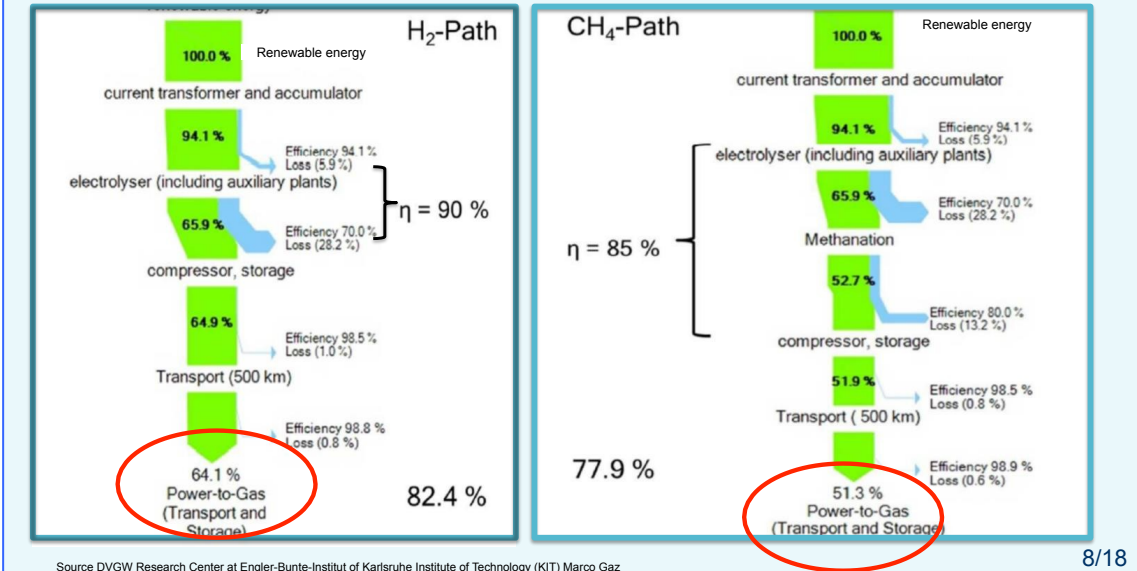


Le Reti Energetiche verso Utilizzi Innovativi



UNI-CIG 2019 **FORUM** IL SISTEMA GAS-EUROPA **UNA VISTA POLIEDRICA SUL SISTEMA MULTI-GAS**

Efficienza dei processi P2H e P2M



Source DVGW Research Center at Engler-Bunte-Institut of Karlsruhe Institute of Technology (KIT) Marco Gaz **8/18**

UNI-CIG 2019 **FORUM** IL SISTEMA GAS-EUROPA **UNA VISTA POLIEDRICA SUL SISTEMA MULTI-GAS**

ENEA

Background sulle tecnologie P2G

- Testing su sistemi e componenti in taglia significativa (elettrolisi, metanazione...)
- Sperimentazione su catalizzatori Ni/Ru commerciali su scala lab/pilota
- Modellazione di sistema, analisi di sostenibilità ambientale/economica
- Coordinamento di progetti di R&I, collaborazioni con Industria/Università
- Technology transfer, brevetti, supporto A.P. e Policy Maker

15/18

UNI-CIG 2019
FORUM

IL SISTEMA GAS-EUROPA
UNA VISTA POLIEDRICA
SUL SISTEMA MULTI-GAS

ENEA

Elettrolizzatore e Metanatore in linea

Source: ENEA Casaccia Research Center

16/18

UNI-CIG 2019
FORUM

IL SISTEMA GAS-EUROPA
UNA VISTA POLIEDRICA
SUL SISTEMA MULTI-GAS

Supercritical CO₂ Power Cycles ...a jump in the future

CO₂ Club Italy Open Forum

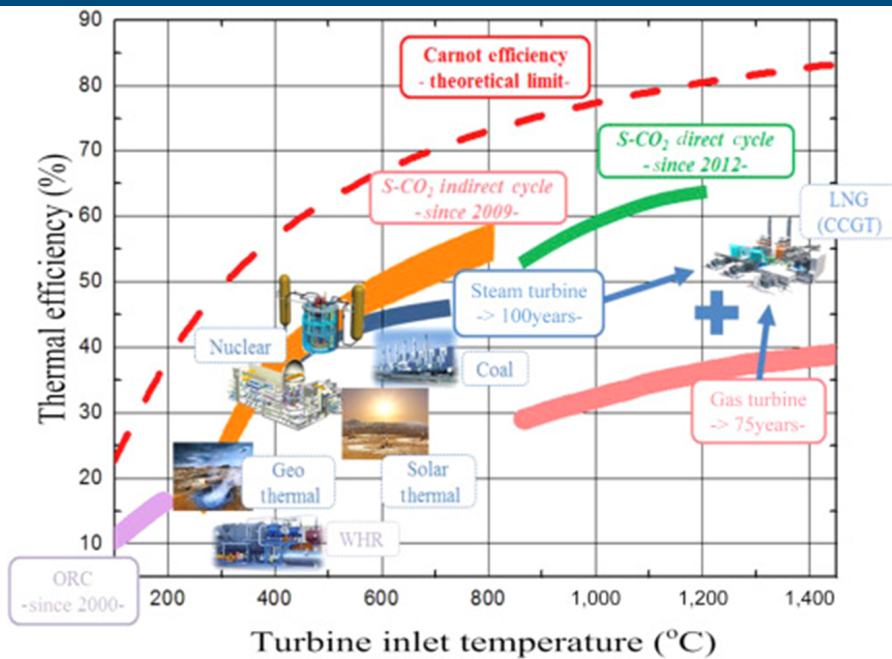
Rome, 16 April 2019

Giuseppe Messina

Process and Energy Systems Engineering Laboratory

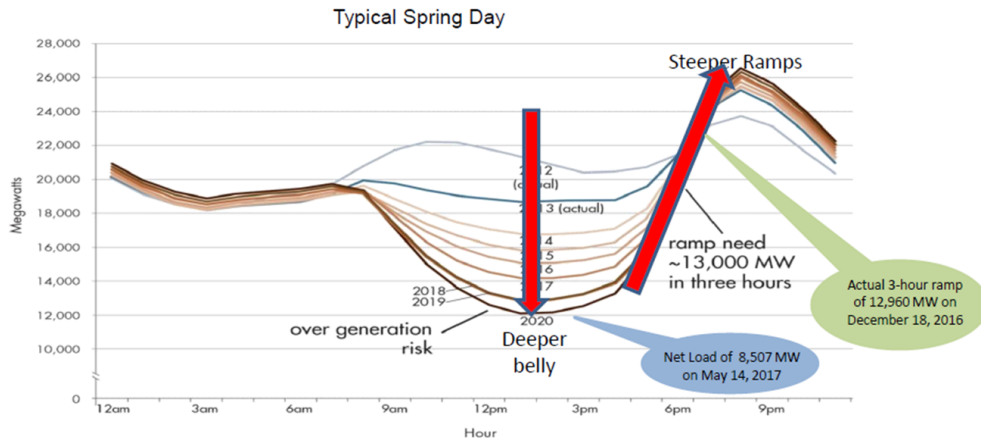


Supercritical CO₂ Power Cycles: what are they?



Supercritical CO₂ Power Cycles: why care?

Actual net-load and 3-hour ramps are approximately four years ahead of ISO's original estimate



ISO Public

9

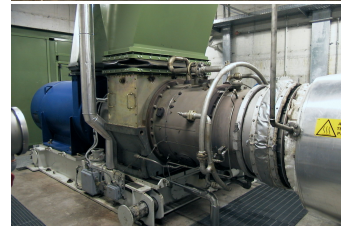
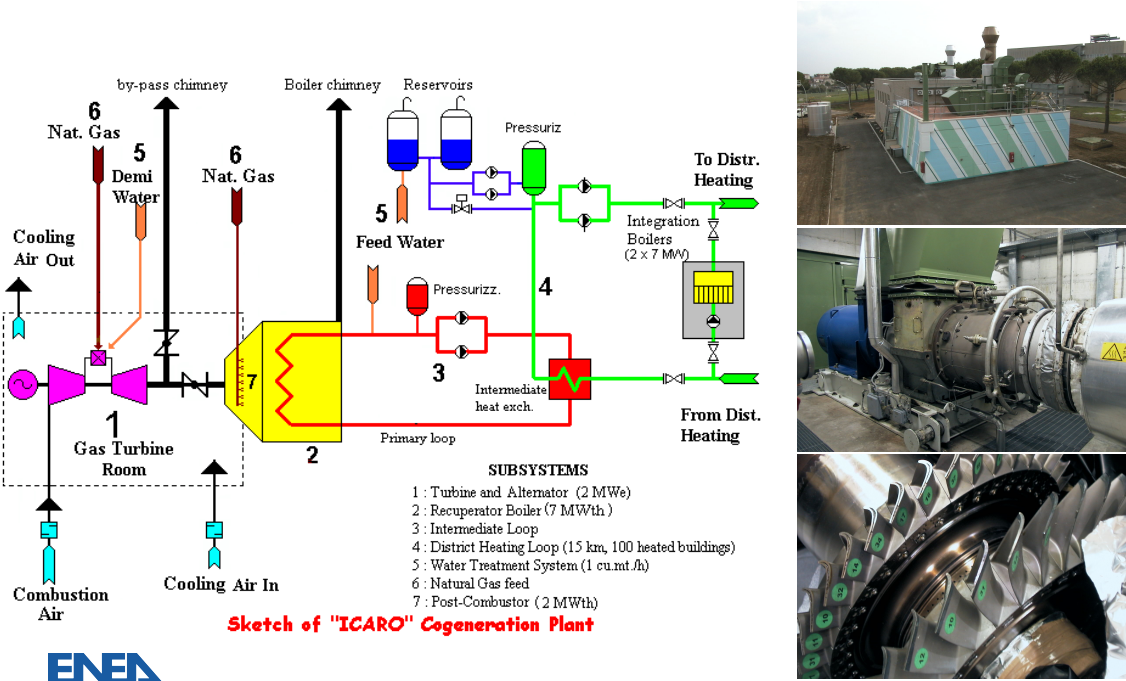


9

Supercritical CO₂ Power Cycles ...a jump in the future - CO₂ Club Italy Open Forum – Rome – 16 April 2019

Supercritical CO₂ Power Cycles: how is it going?

ENEA facilities ready to involve in a H2020 demonstration project



Demonstration of Supercritical CO₂ Cycles Technology for Waste Heat Recovery Applications – ETN's 15TH AGM - Pau – 27-28 March 2019

Supercritical CO₂ Power Cycles: how is it going?

ENEA facilities ready to involve in a H2020 demonstration project

sCO₂ Cycle

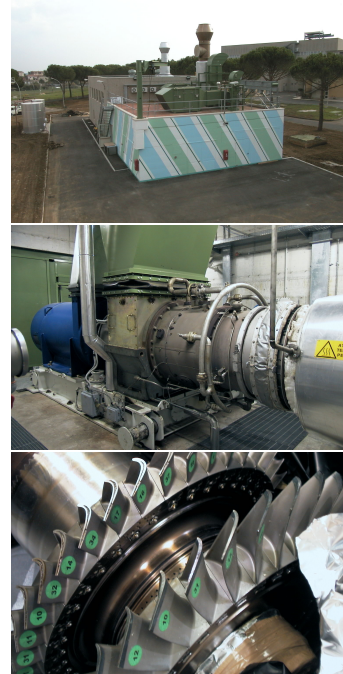
SUBSYSTEMS

- 1 : Turbine and Alternator (2 MWe)
- 2 : Recuperator Boiler (7 MWth)
- 3 : Intermediate Loop
- 4 : District Heating Loop (15 km, 100 heated buildings)
- 5 : Water Treatment System (1 cu.mt./h)
- 6 : Natural Gas feed
- 7 : Post-Combustor (2 MWth)

Sketch of "ICARO" Cogeneration Plant

ENEA

Demonstration of Supercritical CO₂ Cycles Technology for Waste Heat Recovery Applications – ETN's 15TH AGM - Pau – 27-28 March 2019



Supercritical CO₂ Power Cycles: how is it going?

SOA R&D

Blade cooling

Combustor

Turbine

Moving Blade

Rotor

Gen Path CO₂

Cooling CO₂

Seal CO₂

Rotor Cooler Disc

HTC 1 Cooling

HTC 2 Cooling

HTC 3 Seal

HTC 4 Seal

HTC 5 Seal

HTC 6 Seal

HTC 7 Seal

Cooling CO₂

72 TON

Supercritical CO₂ Power Cycles ...a jump in the future - CO₂ Club Italy Open Forum – Rome – 16 April 2019



Agenzia nazionale per le nuove tecnologie,
l'energia e lo sviluppo economico sostenibile

I problemi di rete, gli accumuli e la gestione delle FER ELETTRICHE

Piano Nazionale Energia e Clima
Seminario FILCTEM - CGIL

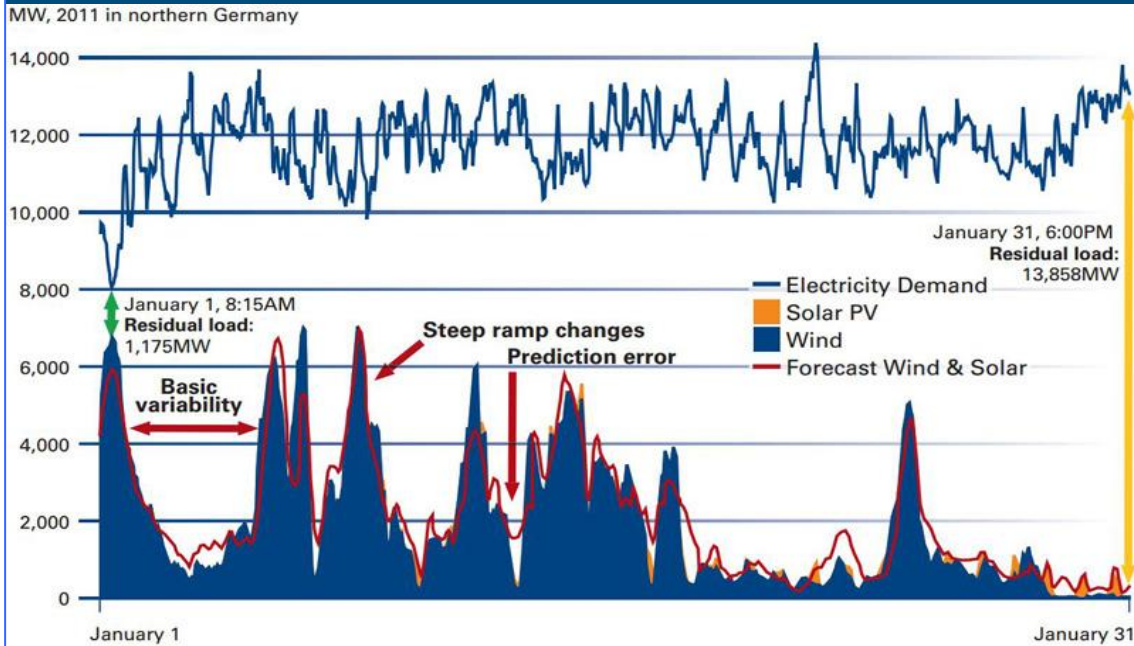
Roma, 24 ottobre 2019

Giuseppe Messina

Laboratorio Ingegneria dei Processi e dei Sistemi per l'Energia

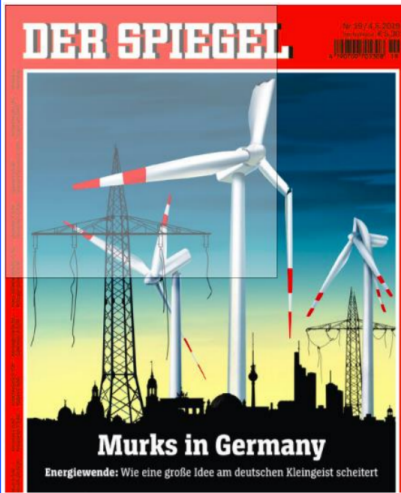


Incremento della penetrazione delle FER variabili flessibilità e adeguatezza del sistema elettrico



8

Incremento della penetrazione delle FER variabili accoppiamento delle reti elettrica e gas



10 anni fa la Germania ha deciso di ampliare la rete elettrica

Pianificati: 7700 km
Realizzati: 950 km
Realizzati nel 2017: 30 km



Snam: an Italian and European leader in gas infrastructure



Integrated operations in Italy

TRANSPORT	STORAGE	LNG
<ul style="list-style-type: none"> 32.625 km gas pipelines total length 13 compressor stations (961 MW installed power) 	<ul style="list-style-type: none"> 9 storages (compressor stations and treatment plants) 16.9 billion m³ storage capacity (total, strategic storage included) 	<ul style="list-style-type: none"> 1 (*) regasification terminal 17,500 m³ - LNG maximum daily regasification capacity

(*) 100% ownership of Panagiotis, 49,07% of OLT and 7,3% of Adriatic LNG

European presence through 6 International associates

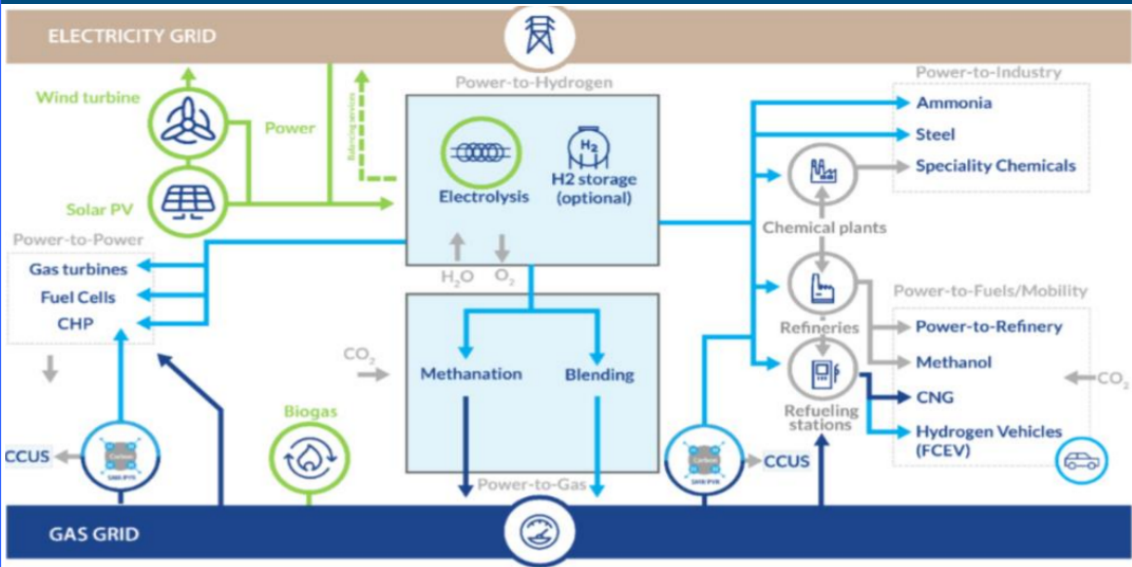


Gas pipeline Φ 120



8 x 3GW elettrodotti

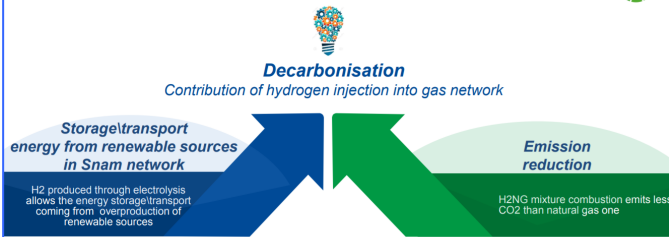
Incremento della penetrazione delle FER variabili accoppiamento delle reti elettrica e gas – accumulo e decarbonizzazione: Power-to-Gas



Source: ENTSO-G 2019.

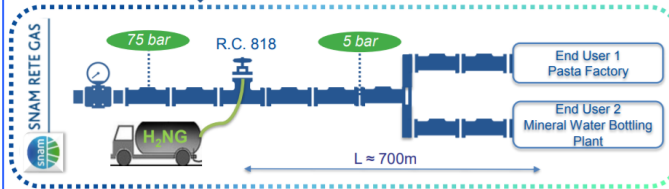
Incremento della penetrazione delle FER variabili accoppiamento delle reti elettrica e gas – accumulo e decarbonizzazione: Power-to-Gas

Framework



Objective
Snam is experimenting impacts and advantages of the injection of H₂ into its gas network, moving towards **Decarbonisation**

Reduction cabin n° 818 Contursi (SA)



SNAM ha completato con successo la sperimentazione dell'iniezione di H₂ al 5% in volume in una porzione di gasdotto asservito a due utenze industriali



13

Piano Nazionale Energia e Clima - Seminario FILCTEM – CGIL – Roma 24 ottobre 2019

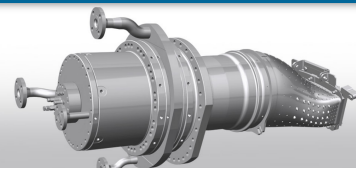
Incremento della penetrazione delle FER variabili accoppiamento delle reti elettrica e gas: incremento della flessibilità di combustibile nelle turbine a gas



Agenzia nazionale per le nuove tecnologie, l'energia e lo sviluppo economico sostenibile



HIGH HYDROGEN GAS TURBINE RETROFIT TO ELIMINATE CARBON EMISSIONS'



L'obiettivo principale del progetto High Hydrogen Retrofit è quello di sviluppare un retrofit di sistema di combustione a emissioni ultra-basse (sotto 9ppm NO_x e CO) a basso costo per le turbine a gas esistenti nell'intervallo di potenza compreso tra 1 MW e 300 MW. **La flessibilità di combustibile e il funzionamento stabile dal 100% di gas naturale al 100% di idrogeno e qualsiasi loro miscela sono requisiti chiave.** Questa è una sfida chiave poiché i cambiamenti estremi nella reattività del combustibile che passano dal gas naturale all'idrogeno possono provocare un drammatico spostamento del rilascio di calore all'interno del combustore, che può essere fisicamente distruttivo se non ben controllato.



14

Piano Nazionale Energia e Clima - Seminario FILCTEM – CGIL – Roma 24 ottobre 2019